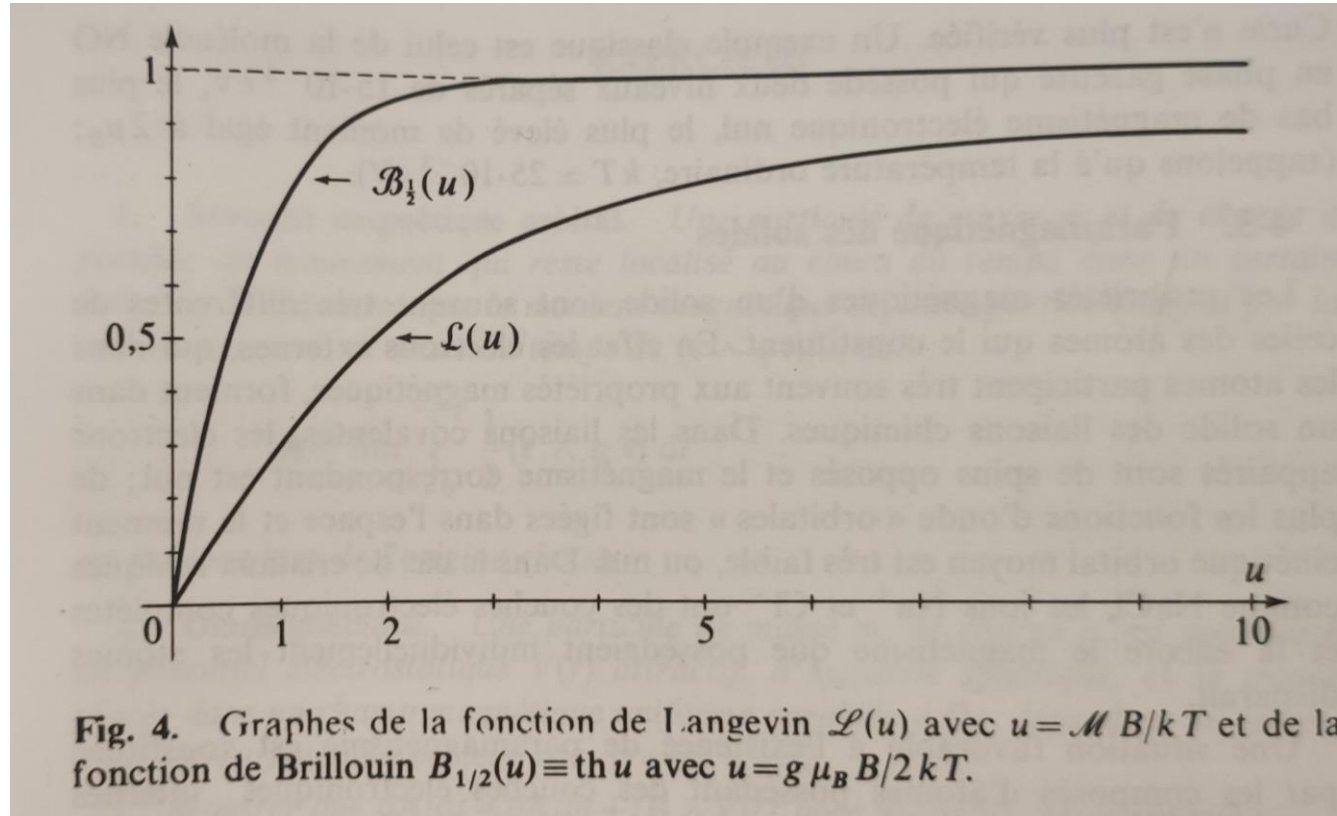
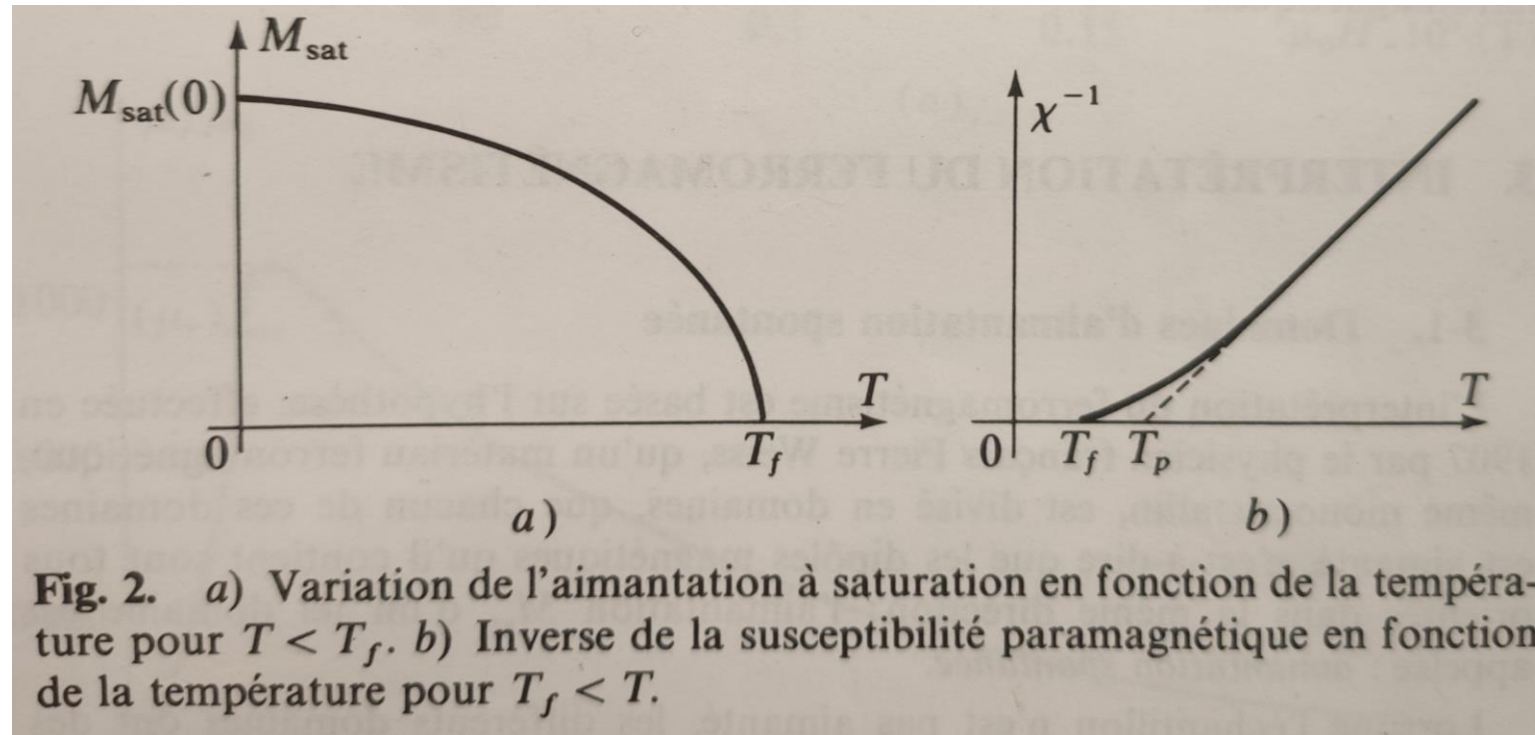


FERROMAGNETISME ET DIAMAGNETISME MISCROSCOPIQUE

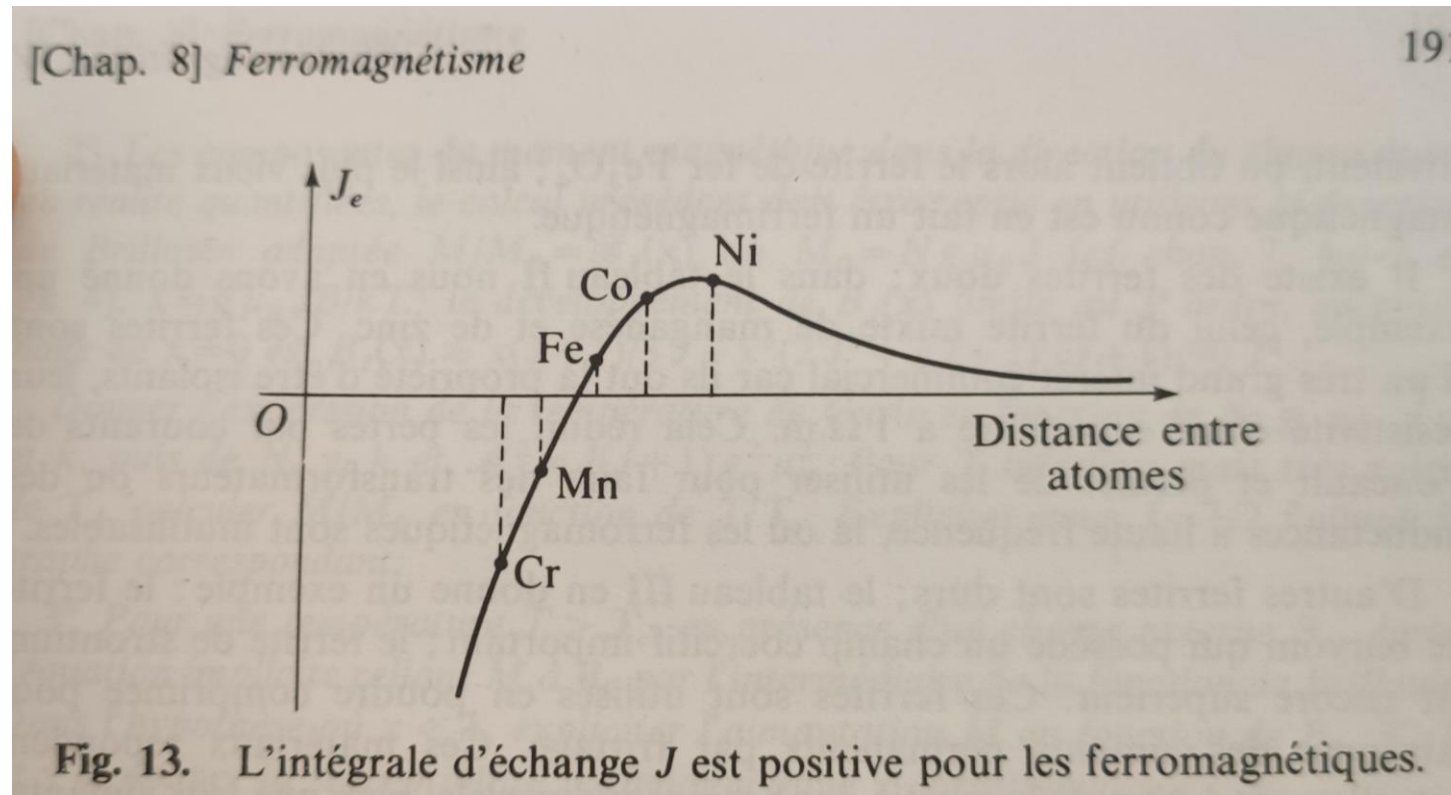
Aimantation normalisé pour les matériaux paramagnétique



Aimantation normalisé pour les matériaux Ferromagnétiques



Intégrale d'échange pour différents cristaux



Détermination graphique de l'aimantation

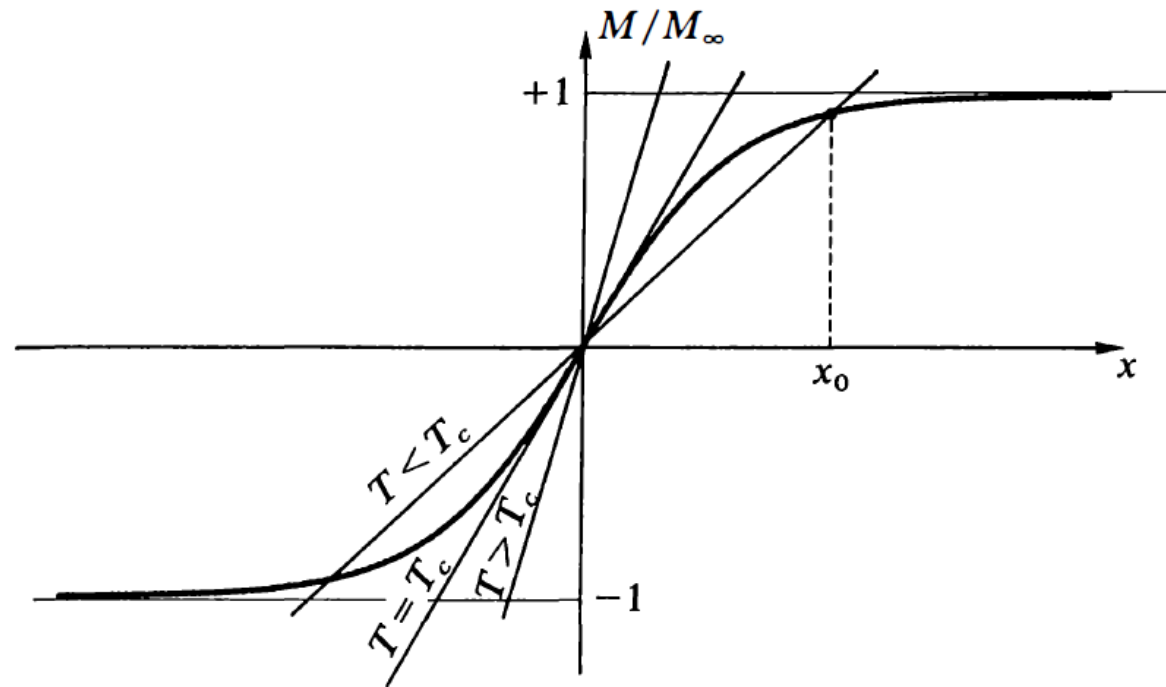


FIGURE 7

Résolution graphique de l'équation d'autocohérence en champ nul. Les points d'intersection entre la courbe $M/M_\infty = \text{th } x$ (en trait gras) et la droite de pente variable $M/M_\infty = xT/T_c$ (en trait léger, pour trois valeurs de T) déterminent les aimantations spontanées possibles dans l'approximation de champ moyen.